

*Minéralogie et Géologie
appliquée*

1898-99.

v. de Kloodyka

Grande de Bass	gros	Schistose et quartzitique	
Birch Creek	série	schiste et quartzite	
Forty Mile	quartzite	schiste métamorphique	plis et failles, veines de quartz
Rampart	calcaire, mica-schiste	éclatante, mica-schiste	anhydrite, silice et failles
Dickie Lake	carbonaté	calcaire et dolomique	Diots de roches éruptives
Mission Creek	carbon ferreux	calcaire et dolomique	veines de quartz, en calcaires aux
Kenai	érosion que offre anche	calcaire abîmé	ordes, ou plus rares, pyroclastites
Dickie Neocum	cocaine supr.	érosion	

Det lauf sollicité par le courant vaste et
due à de la glace corine, a débiter une partie de
la chalcocite et autres minéraux provenant
de la destruction des roches éruptives

La schistosité est parallèle au stratification
et les veines de quartz suivent la schistosité
le schistosité par conséquent la stratification
elles cependant elles la coupent
quelquefois

Les veines de quartz sont abondantes dans
Birch Creek et Forty Mile, toutes
nous affleurent dans le granite, comme
dans Rampart

Le plus part des veines de Birch et Forty
sont élancées et avec perte toute
la plus part sont parallèles à la schistosité
q. q. fois elles sont perpendiculaires au stratifié
part au mouvements des roches encaissantes
celle qui sont parallèles à la schistosité
sont souvent brisée en fragments le
long des plans de cleavage ou gibrus
et contournées. D'autres coupent la
schistosité sur une petite distance pour
se terminer abruptement comme si
elles étaient faillées par un mouvement
le long de la schistosité. — Ces veines
s'orientent le long de
coupent probablement beaucoup plus
continues autrefois mais elles ont été
brisées — les veines sont rares dans Granite
et Rampart —

Il y a d'autres veines qui coupent la schistosité
sans avoir été brisées. Elles sont donc plus
régulières que tous les mouvements des roches et
qui coupent plus fermes que les veines
brisées. Elles entrent parfois au sein
de felspath et par accroissement de ce
matrial elles passent à la pegmatite

Ces veines coupent les dolomies et les schistes
plus anciennes et le divise en deux parties
qui ressemblent à des dykes.

Dans l'ampoule la roche sera souvent
fissurée et des zones de quartz se sont formées
dans ces fissures.

Dans les anciennes schistes veines la pyrite est très
commune, la galène est fréquente et l'or se
trouve souvent.

Les jeunes veines de quartz que nous
nous sommes affectés par les mouvements
continentaux aussi des métamorphes

Mécaniquement les zones de coupe minéralisées
le quartz et les sulfures métalliques vont
empêcher la roche.

Les jeunes veines se présentent sous la forme de
les anciennes. Elles sont en relation avec les roches
éruptives et passent à l'aplomb il y a transition
graduelle de sorte que la formation des
deux roches ne peut pas être très différente.

On peut admettre que toutes ces modifications
éruptives depuis le roches ultra-basiques
formées essentiellement de minéraux métalliques
et ferre-magnétiques, jusqu'aux veines de
quartz, pourraient avoir été formées
par ségrégation, la cristallisation des
parties basiques laissant un fond de
plus en plus siliceux et plus aqueux
arrivant à ce stade que dans l'eau thermale solubles

L'or et autres métaux contenus dans les filons de
quartz caisse commençant au quart de siècle
dans la roche ignée partent évidemment
dans le minéral et même brûlante
olivine. On a trouvé de l'or dans des cristaux
de quartz et de feldspat d'un granite, dans un
quartz attaqué du Chili.

Dans les filons de quartz aurifère on a trouvé
jusqu'à 77 espèces de minéraux dont beaucoup
tout-ways. Ce que l'on trouve souvent dans la
pyroxénite.

Les filons de quartz aurifères proviennent d'une certaine
de ségrégation du granite. L'or insoluble dans les

beaucoup de ses minéraux. Dans la
précipitation de l'or il est probable que la
pyrite et autres sulfures jouent un rôle
important mais l'or a pu être précipité
autrement.

Minéraux et minerais de fer

Pérovskite

Pyrite

Sphéncite

Tyrolite

amant ou magnetite

Oligiste

Martite

Gastilite

Limonite

Fiderore

Chamotte

Berthierite

Gisement

1^o Filous

Eberg. sunde roche eruptive formé d'olivine & magnetite

Pyroxées

Filous extraits dans les schistes.
larges dans les calcaires. - transformation en calcaire en fiderore
Ondes dans le haut (hematite, oligiste, magnetite)
Fiderore plus bas.
Pyrite au centre.

Rancie (orme) Goss

Leveller dans le calcaire parassique for contourné

Substitution de la fiderore au calcaire

Transformation de la fiderore en hematite

2^o Elbe

Tentille (Hed) ou poches dans calcaire jurassique et silurique.
particulièrement au contact des schistes et pyromorphite.

Origine primitive non connue

Zone filon de fiderore

Cumberland. Hematite

Milles
millilitres min
calcaire minerales
au niveau silurique

2^o Sédimentaire

Origine des minéraux sédimentaires

1^o Alteration des minéraux P.G.B - particularité des pyrites

Transformation en Carbonate

en oxyde. oligiste et limonite

Emigration facile du fer

2^o Alteration des roches eruptives

abondance du fer dans les roches basiques. Magnetite
pyroxene, amphibole &

Refusation des roches de l'acidium

3^e Source ferrugineuse

Lavage des continents

- Dépot dans les bassins sedimentaires et dans les poches
1^o par précipitation - Gis. ferrugineux de Casul
2^o par imprégnation et stabilisation, riche en calcaire
3^o par l'action de critères organiques

Gallionella ferruginea minéral des lacs
des prairies

Oxydation réductrice du sulfaté en circulation

Lavages superficiels - Toute la surface
Lavages profonds - nappe aquifère - Gis. ferrom

Métamorphisme des minéraux de fer.

Régression formation de magnétite, d'olégrate, éléments

Déposition de minéraux de fer

1^o en couches

arrondissement à l'aval des cours d'eau. Cela entraîne calcaire et silicate
mélange de talc et d'argile

Minéral primaire.

Boulonnais surface du terrain préhistorique
lavage du calcaire primaire

Ardennes. Côte à la surface du terrain cambrien

Berry minéral de fer sidérolithe poche dans calcaire paroxysme
alteration du calcaire. grains de minéral dans calcaire recrystallisé
calcaire saccharoidal

Terre brune et grains formés de coupe concentrique dans argile rouge
Origine primitive. Source la rouge du plateau central ?

Hébreuse Roche et roche dans calcaire triasique au nord-ouest falaise Pkt B

Bilbao. Roche un peu profonde Campanil rouge pourpre, sp. sp. coll. 80%
platane voisin nappé sur grès Rubis bien en jaune 77%
Vene rouge trouée au niveau du précédent, strate rhomboïde 79%

2^o Couches régulières

Moselle et Moselle. Lorraine, Luxembourg

minéral solitaire phénacite - minette

Variation dans la richesse des Cailloux

dans une épaisseur de 1 à 30 m

ass. à Am. opalinus. et couches plus anciennes.

Étendue considérable

Differentes gîtes de ce même Nogent (H^{te} partie) Ardèche, Aveyron

Saône et Loire - Exploration du Censat - bâti dans le Rhône

Ardennes - mine rouge. Neuvicq
nord. France

Tournai mine rouge devonien

Belgique ?

Scandinavie Denemarken couche de magnétite avec dolomie

3^o Nodules - nodules dans le Houiller

Angleterre

Allemagne

nord de l'Allemagne

mineraux rares capturés pour les analyses de la mine

mine
{ 1° Thorite
2° Ormigite
3° Monazite - Thorite de la L D - Th.
Orchignac

organique { Thorine
Monazite

500 g. f. b. K.

sachet à enlever : Cérium, Didyme, Lanthane, Zirconium

Brûlement de la Cerite

La matière brune en fragments gros comme le poing et chauffée au rouge il devient jaune en s'oxydant. On l'éteint avec l'eau froide ce qui facilite sa réduction en poussière

on traite en fragments par l'H Cl concentré, il est alors évidemment débarrassé de silice

La solution chlorhydrique se precipite par acide oxalique. Si on laisse tout chauffer au rouge dans un vase peu profond jusqu'à ce qu'il soit complètement incrépité et cendré

Ces oxydes sont attaqués par Al_2O_3 H concentré. Ils se dissolvent pendant longtemps sous l'ébullition en hydroxyde rouge formé

Et oxyde de Zirconium, Lanthane, Yttrium cristallisé et manchonné dans l'acide Oxalique

60 % de zirconie
20 % de Lanthane
20 % d'yttrium } ou { 50 % de zirconie
50 % de Lanthane } 27 Thorium
27 Erbium.

On plonge la bagasse dans une solution contenant ^{à ne pas faire} des téls à l'état d'oxyde.

La bagasse épuisée entre les doigts, secouée, coupée en morceaux sera alors un manchon. que l'on brûle au-dessus d'un feu Bunsen pour détruire la matière organique -

on peut remplacer Yttrium par Erbium
Lanthane par Cérium
Zirconium par Magnésium

D'autres oxydes peuvent être obtenus du résultat précédent

Thorium { lumineuse bleue Thorium { lumineuse orange Thorium { lumineuse verte
Lanthane { lumineuse jaune niobium. }

manchon fait avec un seul oxyde

Lanthane lumineuse bleue	2. calcd.	36
Zirconium	1.	28
Thorium. Blanche claire	2.	63
Yttrium. Blanche jaunâtre	2.	08
Cérium. Lumineuse rouge	0.	42.

1^e cours
19 nov. 1898

Structure de la terre

Couches sédimentaires: Sable, argile, Calcaire, Crinie, Sel gemme

Leur dépôt dans l'eau démonté par

1^o leur analogie avec les sédiments actuels

2^o leur disposition horizontale en couches (sédiments)

3^o leurs fossiles.

Leur âge relatif déduit de

1^o leur superposition - 2^o les débris qu'ils contiennent (Courtaud)

3^o leurs fossiles

Primaire: dolomique (tdolobis)

Daevique (sp. vernicif., calcaire sandaline)

Carbonique (Productus semiretulatus)

Secondaire triasique (Ceratites nodosa)

jurassique (ammonite, Belemnites)

crétacé (murexites, incisivulae)

Tertiaire: éocene oligocène moyen } Maisons-les-Monts
Laon

Leur étude

Traverses.

~~Disposition des bassins~~

Ravinements par les riviers et anciens courants

Castel-Coupe de Camel

du Noir - Coupe 2. du 1^{er} Noir

Laon

Voyage sur les anciens rivages des bassins

Changements de forme des Bassins.

Stratification transgressive.

Roches éruptives

A Volcans.

Principaux phénomènes volcaniques.

Cendres et lapilli - Tuf.

Lave - épanchement de la lave - nappes, Basalte

Vapeurs: chlorure de sodium + hydrogène - Fumeroles.

Dykes.

B Roches plutoniques

Ouverture ignorée

Laccolites. Filons.
Nappe d'épanchement d'un filon

Nature des roches éruptives

Télerpith (K, Na, Ca) $\text{m} \cdot \text{Al}^{\text{n}} \text{Si}^{\text{l}} \text{O}^{\text{k}}$

Amphibole etc (Fe Mg Ca) $\text{m} \cdot \text{Si}^{\text{l}} \text{O}^{\text{k}}$

Minéraux accessoires: quartz, Si
mica (Fe, Mg, K, Li) $\text{m} \cdot \text{Al} \text{Si}(\text{O}, \text{H})$

roches basiques: Peridot (Mg Fe) $\text{m} \cdot \text{Si}^{\text{l}} \text{O}^{\text{k}}$
Magnetite Fe_3O_4

Derniers phénomènes éruptifs - Eaux minérales

Relation des eaux minérales avec les roches éruptives - La Bourboule. Géodrome.

Filons

Fentes: Dioclase et paraclastes.

Remplissage de fentes

1^o par en haut: Eaux superficielles

2^o par en bas: 1^o Eaux souterraines

2^o Matière éruptive

3^o Vapeurs.

Matière remplissant les filons

1^o Roches éruptives - Filon de disette

2^o Minéraux pierreux filon de quartz de l'Ardèche
" " de calcaire de Malbanc

3^o minéraux métalliques - filon métallifère

Théorie

Origine des matières qui remplissent les filons - hypothèse

1^o lavage du terrain voisin - Filons superficiels

2^o émanations - Relation des filons métallifères aux roches éruptives
Eaux minérales et vapeurs éruptives

Zones concentriques des filons: ~~épaisseur = tout et tout~~

~~direction des filons = trancher = intérieur~~

~~Salinisation~~

3^o Exsudation - Eaux d'imbibition des roches encaissantes

application aux filons de quartz, de calcaire
" " aux filons métallifères

Voyage des substances minérales.

Origine première des substances métalliques.

Structure des filons métallifères

Direction ou orientation

Inclinaison

filon couché — parallèle aux couches sédimentaires ou aux
appelées cryptiques

profondeur — amas

Épouts : tout mur. miroirs

Salbands. — ~~mo~~

Rejets des filons.

Variations dans la composition

Raines — Gummie de minéralisateurs. Soufre

Zone de réduction : métamorpho

Chapeau : Oxyde et carbonates

Action des eaux superficielles sur le chapeau

Enrichissement puis appauvrissement du filon en profondeur

Age des filons.

Age relatif de plusieurs systèmes différants

Rejets filon croissants.

Age absolu.

Relation avec les couches stratifiées

Épanchement dans la couche stratifiée

Cailloux roulés

3 December 1898

Métamorphisme - modification des roches au sein de leur dépôt

Eau d'eau

1^o Métamorphisme aquain - Epigénie, pseudomorphose

Eau d'imbibition et de circulation.
Couche perméable et imperméable.

Dissolution - Eau minérale.

Hydratation

Oxygénéation - Pyrite oxygénée -

Carbonatation - Pyrite carbonatée Bi-carbonate de chaux

Dissolution - Fossile, matrice ou teneur.

Transport de matière

Transformation épigénique

Silicification d'un fossile - Bois silicifié

Formation de nodules. Silice.

Remplissage de gîtes agate, cristal de quartz

Formation des zéolites.

Observation sur les massifs nèuds de Plombières

dans la bryozo. Chabasse K Al Si et Christante ^{Kla Al Si} Opale

le ciment à poppylite Ca Si

Cath.

2^o Métamorphisme de contact

Cuisson par les laves.

Blocs reflets - Calcaire du Vesuve - Blocs de la coulée
metamorphisme par le granite

Gîte - transformation en quartzite -
cristallisation du quartz

mica noir, sillimanite

Schiste - formation de mica noir, de chlorite (andaluzite)

Observation de M. Lacroix

Endomorphisme

Action de la matière sur la roche éruptive

Role des vapeurs des roches éruptives

3. Dynamique métamorphique

Mouvements du sol

Mer à Yoldia de Thulande

Lac à Anghies - 100 m. du golfe de Bottino
22 m. à Göttland

Retour de la mer.

mer actuelle 7% plus. 38 dans l'île du nord

hypothèse sur la flancade interne du globe Mer Tadi - formation corallienne 200 m au dessus de la mer
de Falsterbo - - - - - 270

Ridge Hæren et plisées

plus antérieur à l'ordovician.

Cassure, failles
Microclinor. roches, fracturé
Résultats métamorphiques des plis renversés du N.E.
Formation du jumelle
Expérience de Daubrée

Métaomorphisme.
Production de minéraux.
Métaomorphisme régional.
Gneiss, micaschiste, schiste cristallin
Passage du Gneiss au Granito
--- des schistes cristallins aux schistes sud-montants
~~Hopital~~

10 Decembre 1898
4^e Cours

Ardoiries

Définition des ardoises. ~~phyllade~~ présentant une grande ressemblance à la cassure.

Définition des schistes, du phyllade : schiste dur, se dévissant en feuillet les minéraux.

Définition du schiste rosé qui devient un feuillet

Qualité des ardoises : fissilité, dureté, résistance à l'altération, texture

Longueur de l'ardoise

Composition chimique

Analyses de M. Renard, Clément, Mallard, Mellard Read, Savistag

Silice, Aluminium, Oxyde titanaïque, Oxyde de fer, aluminium, magnésie, alumine, chaux.

Composition minéralogique

Quartz - forme indistincte, grains q.u. fait elliptiques. - coloration grise à noir croisé
Éléments constitutifs {
Silicate {
Chlorite } - disposition en lamelles (nauillots) parallèles, croisées ou oblique avec noir croisé
H₂K Al⁵Si³O¹² H₂O(Fe,Mg)⁵Al¹Si³O¹¹ Chlorite {
Rutilate } - filaments courts, souvent des fibres - polarisation croisiale très vive
coloration très vive noire croisée

Éléments colorants {
Chlorite - ardoise verte
Oligiste - ardoise violette - grains couleur rouge
charbon - ardoise noire - grains

Éléments accessoires {
Ailmant {
Pyrite
Otthelite
Tourmaline / une au
Chlorite en proportion quantitative
Composition minéralogique d'après M. Renard

Stratification de l'ardoise - couches

Altération de couches de quartz et d'ardoise

Disposition du feuillet par rapport à la stratification

Couvertes elliptiques de conductibilité

Origine métamorphique des ardoises

Généralement dans les autres métamorphiques. - Ardoise de Glaris

Composition hypothétique primitive ~~sablage des feuilles~~ sable

sable argileux très fin

Transformation de l'argile en silicate et en chlorite

Précipitation de la pyrite - cristallisation en cubes

Précipitation de l'oligiste ?

Formation de cristallisation du fer ailmant

Production du rutile. Précipitation de l'oxyde titanaïque dans le roche

Production de la fissilité et du longeur

Expérience de Daubree sur l'argile - Pression et mouvement

feuillet dans le sens de la pression et du mouvement

Disposition des feuilletts suivant le feuillet

- des éléments grosses suivant le longeur

Deformation des feuilletes.

Archibolites d'Angers

Éléments de Dauphiné

Géométrie des cristaux d'aimant - Chlorite et quartz

Double action métamorphique
1^e métamorphisme chimique
métamorphisme phylladique

Rupture de cristaux des s'Orthie

Chardage de cristaux d'amant, when enveloppe de fibre et de chlorite

Fabrication de cordoises

Dalle de caunes

Perçage ou fistules perpendiculaires au feuillet

"Importance du Longrain

Couche de l'ardoise s'au décompte - perçue au Longrain

2^e à la machine truelle - femme lardoises à la minute

Production d'ardoises en 1896

Ordienne française - Cambrien 55 000 tonnes

Bretagne 162 000

mine de Lorient - Orléans - 96 000

Nivernais, Cambrien, St-Lô

Silurien, Anjou, Morbihan, N. et Maine

Carbonifère Finistère - Chaleudin

Plateau central - Corrèze 6.000

Alpes carbonifère 21.000

Pyrénées Devoniennes 21.000

Belgique - Cambrien, Devonique

Allemagne - Nord du Rhin, Devonique

Angleterre Pays de Galles - Cambrien, Génésien.

5^e Cour

17 Decembre 1898

Gisement des ardoises de l'Alouette
Structure de l'écluse Cambrienne

Rumagier.

Ardoises violettes.

Composition chimique

Composition minéralogique

Ardoises vertes.

Composition minérale — riche en silice

Composition minéralogique — en quartz

Schiste verte

Disposition des lames vertes — parallèle aux couches.

Décoloration des ardoises violettes

nodules verts

Rhyolithe gris verdâtre d'Attayber. abondance des chlorite

Quartzite verdâtre

Quartzite blanche.

Étendue du Rumagier — Le Brûly à Samay — 10 mètres d'ardoise violette

Plongement au sud sous Revinne

Ligne nord. Déroulement

Ligne occidentale faille

Ligne orientale

Vallée de la Meuse.

Bonds des ardoises

Renflement

Face des bonds

Plongement des bonds vers le SE

vers les couches vers le nord

Tenaille — incl. 40° — dimension de la couche 27

Décalage des couches — Declinaison des couches E 29° N.

Pression déterminant ardoise de Bas en haut — de S. au Nord

Ardoise de la Meuse

1^{re} Vene marbrée ou de la Renaisseance 20 à 30 m.

2^{re} Vene St Anne — plus rouge (Belle rose) — 11 m. env. avec crêtes

Ardoise de la Côte du Diable ou du rocher de Chastres

Couche superficielle

Valoir des ardoises de Samay due

• Profondeur de la vallée

2^{re} au contournement des couches.

Berminien
Phyllade noir
Quartzite noir
Ardouinere de pierreux en schiste
autre couche.
ardouinere cal de l'art.
— d'auz

Devillein
ardoise armante ferre
Composante charriquie
— numerologique

~~une~~ Cristaux d'armant
enveloppe de chlorite
pierre du quartz
et ciment

ardoise bleue
Composante charriquie
— numerologique
fer oligistique

Disposition des zones vertes par rapport au bleue,
Quartzite bleue et verte

Division en 2. groupes.

montherme Deville

Rimogne

groupe 1. Deville

3 couches...

L'échira : Grand Cerne et petit Cerne

1. Barnabé : Grand Cerne petit Cerne

Nanette a Chateau Reynault

Etanglement entre le groupe de Deville et de Rimogne

Rimogne

Groupe de Rimogne

Croissant a coins faits vers l'E

Murte de couche

Pointe de la montagne Cerne

2 veines bleues dans la couche ardoisier a Lez le Richeville

Extermination occidentale de la zone ardoisier à Deville

Faile de Rocroi

Explorations de Maubert Fontaine
— au environs d'Hercion

Disposition de Phyllade de Bony

24 decembre 1898

6^e cours

Ardoirs en belges

Ardoirs des massifs de Fumay
Centrale sur le Revireux. Cul de sac, etc.

Ardoirs de Viel Salme

Les 2 massifs cambriens

Rocroi, Spornon, terrain Stavelot
Partie centrale du massif de Stavelot. Revireux

Partie périphérique

1^o Quartzophyllade

2^o Quartzophyllade, Phyllade, schiste zonair

Phyllade.

Couleur grise et verte - graine

Composition

Quartz, sericite, rutile, chlorite, grenat, tourmaline.

Oligiste - cristallin

Ottoblite, granat et tourmaline

Déposition de cristal de ottoblite

Dimension 0,2 mm - 2 mm

Vert, noirâtres, marron - Epigénie

Inclusions - rutile. Oligiste

Effet de la cristallisation est battante sur
l'oligiste de la roche

Concentration - Expulsion

Casture de cristal de ottoblite 4478

Déviation des grains d'oligiste 2222, 4400

Hausse temporelle. 9414, 4395

Phyllade vert-graine.

Gisement de ardoirs de Viel Salme.

Ardoirs d'Orléans d'Herbeumont

Composition minéralogique

Quartz, sericite, rutile, chlorite - Tourmaline

Charbon granulaire colorant entier

Micaïte (FeTi_3O_5)

g. g. f. Oligiste

Prisme et la calcite

Position des ardoirs d'Herbeumont

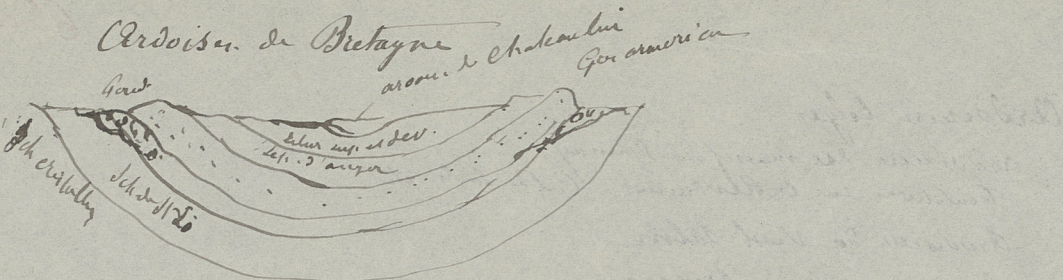
Golfe du Luxembourg ou de Charleroi

Butte

Ardoirs allemands

Ardoirs du Rhin - Land. nîmes géologique (Hundstuck Schiefer)

Ardoirs du Harz.



Ardennes de Bretagne non étudiées
griffen

Ardennes anglaises

Roxburghshire

1° sur Penrhyd.	=	Tremay, Remay, Rovin,	300
2° sur Arthog	=	Nel Salen - - - - -	275
3° - Festiniog	=	Augers. - - - - -	175 000
4° - Wensley	-	-	20

Ardennes des alpes.

Carbonifère

Liausque. Relements
tertiaires - Glacis

7e cours
14 Janvier 1899

Charbon subst. noir ou brune, combustible, insoluble dans l'essence de chlorébenzene et dans le benzine

Carbone, matières volatiles, moins 2%

Anthrakte 5 à 9% volatiles, celles-ci métalliques ou solides ou douces
Ses propriétés - cassure concordante Dureté 1.3 à 1.75

Houille 9 à 40% volatiles cendre plus ou moins 9-9.5% teneur

cassure subconcordante ou irrégulière

Ses propriétés par clavage en petits parallélipipedes

Dureté 1.45 à 1.6

magine anthracite 9 à 12% vol. cendre brillant couleur noire

semi-grasse 12 à 18%

grasse 18 à 28

à gras 28 à 40

Cannel coal noir compact - cassure plate, ne laisse pas de doigts

Lignite 30 à 50% vol. couleur rose déformé au brûlé

cendre 9-9.5% résiduum et teneur

Dureté 0.5 à 1.5

flamme fuligineuse et donne des sels soluble

Passage à la houille - age

Variété jayet

couleur sombre

Age de l'anthrakte de la houille, du lignite - influence de la pression
anthracite du Briançonnais

Determination de l'âge par le végétal

- B. carbonique
- | |
|---------------------------------------------------------------------------------------------------------------------------|
| 1. Flore du Paléozoïque du Danemark. <i>Bornia</i> ou <i>Calymene</i> (Equisetales), <i>Lepidodendron</i> (Lycopodiaceae) |
| 2. Flore du Westphalien - <i>Sigillaria</i> (Equisetaceae) <i>Nervostemata</i> |
| 3. Flore du Stephanien <i>Psycpterus</i> , <i>Cordaites</i> (Cordaites) |
| 4. Flore des <i>Wettsteinia</i> (Conifères) { Flore en <i>Glossopteris</i> - Inde, Australie, Brésil, Nouvelle-Zélande |

- C. triasique - 5. Flore des *Wolffia* (Conifères) *Pterophyllum* (Gymnospermes) Gondwanaland Norway
- C. jurassique - 6. Flore du Céader. *Calamites*, *Pterophyllum*. Muller. Le Jardinal Tumf Kirchen
- C. géologique - 7. Flore des *Rhizocarpon* et des *Platellaria* des îles Iles de la Madeleine, Bay of Fundy, Orange
- C. éocene - 7. Flore des Séquoias, Lourdes, Platellaria - - - - - 7. Barque
- C. oligocène - 8. Flore de Sabal de *Cinnamomum* - - - - - 1. manœuvre

Production des lignites en France

Production des Combustibles dans le monde entier en 1876.

Relation des Bassins houillers avec le marché principal

France

Production des divers bassins français

1^o Carrière des bassins houillers du centre

2^o Meuse-Artois - Epaisseur de couches

Bassin du Rhône également plus grande

âge des Bassins houillers

Dunkerque - Bassin lorrain, surtout Mayenne

Westphalie Nord et Roi de Galles

Stephanoise sous la côte

Belgique to

Grande Bretagne

Bassin de Bristol

du Pays de Galles Houille pour Chaudron brûlant sans fumée et

ne se prenant pas en croûte

à Wansbeck

Bassin du Centre Yorkshire, Birmingham

Bassin du Nord. Chambre persimone

1^o Durham - Northumberland

2^o Cumberland (Carlisle) Exploitation sans fumée

Bassin de l'Écosse

Allemagne

Prolongement des Bassins France-Belgique 1^o Bruxelles sur Inde

2^o Wurm

3^o Ruhr.

Bassin de la Sarrebrück. âge 80 millions de tonnes de charbon
âge 4 m

- de Silésie 1^o Silésie moravie 10^o arche de Louvain au sud 10^o au
2^o Bassin silésie

de Pologne

Autriche

Bassin de Tannheim Transylvanie

Russie Bassin de Pologne Dombrowska

- - - - - du Donetz

Etats unis.

8^e cours
21 Janv. 1899

Bassin houiller Franco-Belge

Composition
Houille

disposition en couches.

continuité des couches de houille

intercalation de schiste dans les couches - une division - sills

épaisseur - disposition en chapelets

Schiste composition - quartz matrice argileuse, charbon
couleur entre de chine - autres schistes assez ordinaires

Schiste roc.

Schiste du tout. schistose régulière
mica.

schiste feuilles de fougères, Sigillaria

Schiste du mur irrégularité
abondance de mica
Stigmaria

Grain grêle : quartz, mica, charbon

couleur.

grâsseur des grains, conglomerat, millstone grit

pyramides

goût de grès - jaspeux mure de grès

Carbonate de fer, rognons.

Phosphate

Coulées

Structure du Bassin houiller

Bassin de Namur
Bord nord. la composition régulière

Bord sud. crete des Coulées

Structure géologique du sol
français belges
notable
Bassin de Namur et Dinant
un embûcheur

disposition primitive du Bassin

Structure de la crete des Coulées - déroulé inf gris rouge

Ridement du Hainaut

Enfoncement progressif du Bassin - Indien - son exagération
à l'ouest de cet enfoncement - Noye - faille de la Noye

Combles du Nord. limite nord - calcaire

Millauion régulière, plissements, failles, dents, mèches,
croissance en matières volatiles du N. au S.

Combles du midi

Renversement des couches. tout et mur

Plissons : dessous et plateaux. croches.

épanouissement des dessous - caractéristique des cassages. crete et grès
lumets du Sud.

Structure à Namur.

1 Présence ou absence de silicium dans le crete des Coulées

1 Grande faille ou faille du Noye

3 Disposition complète ou partielle du bord méridional du Bassin de

4 Transport d'une partie de ce bord - Lumbeau de poussée

Faible hauteur

Faible transversale. (trans.) leur remplir avec

Etude détaillée du bassin houiller Franco-belge

1^o Bassin de Valenciennes.

Concurrence d'Anzin de Vicqigne, de

Craie de retour = paille de la Noye miel 28 à 65°
au N. de Crue de retour

Faisceau de meule Condé-Vicqigne - H. mure
de l'heure ^{au 1/2} à l'heure ^{au 1/2} - - - - -

Détarçan d'Avesnes - - - - - H. Demange

? - - - - - de Thierache - - - - - H. gâche 19 à 22 %.

en Disparition des vêmes dans le état de retour

Fond. de Crue de Retour

Faisceau d'Abscon venu en verve - - - - - 24% de matières volatiles

Faisceau de Denain - - - - - 35 à 82% de matières volatiles

Division d'age à établir dans le terrains houiller
West-Dinantien, Westphalien, Stephanien, Germien

Division dans le Westphalien

1^o Division basée sur la quantité de matières volatiles
exception

2^o Division basée sur la flore
l'abée Boulay - Zeiller

Division en 6 3 zones.

Zone 1. Vicqigne

Zone d'Anzin Maurchia

Zone de Bully Grenay

9^e cours
28 Janvier 1899

Étude détaillée du Bassin houiller de Valenciennes
Terrain mort arrasement ante retraque
1^o Bassin de Valenciennes.

Concession d'Anzin, de Vicq etc.

Cran de Retour = Faible de la Noye mi. 28 à 45°

au N. du Cran de retour

Faisceau de Vieux Coude Vicq etc.
n. - 3. Faisceau midi à Campout -
d'Anzin
de Thiers -
D. Disposition des faisceaux de l'heure sur le
cran de retour

au S. du Cran de Retour

1 Faisceau d'abscon veines renversées -
Faisceau de Denain - - - - -
Houille 24% } 35% D. Denain

Hypothèse sur le Cran de Retour

Faible par descente
Faible de transport
Prolongement de ce faible dans
2 Bassin de Douai - anche l'Escrupelle

Charbon gris = charbon de Pouzin

aléane de la Houille majeure au S. de la basse

Faisceau du Nord d'

Dérivation d'anche l'charbon. demi gris -

v. - - - gros炭末炭

Dérivation de Douai charbon gris.

Prolongement du Cran de retour dans la forme d'anche

Fond de bâtiem. dans la dérivation de Douai - terminaison de la faille de la Noye

Limite sud du terrain houiller

Calcaire carbonifère ? Devonien inférieur

3. Bassin du Pas de Calais Côte du Levant

Coupe de Douvin à Less Lévin.

Plateaux

Desmonts en poussée - faille des plateaux - Faible de la Noye

Reliefs de veine en place avec la veine renversée à Courrières

Lambeau de Pouzin ?

Grande faille - Bord sud de la Grande faille
Silurien. Devonien

4. Bassin du Pas de Calais côté du Combarel

C.

Structure à Aniche au Bois - Schiste noir ~~charbonneux~~炭層 de l'ouest
Termination de la bande Houillère à Plichinelle

Boulonnais

Situations du ter. houiller à Hardingham

Découvertes de la houille à Welynes

Sondage ~~de Weynes~~

Bassin Belge.

~~Occident de la Belgique.~~

Couche aux errés sur houilles

Sortiment du Bassin de Mons

Pôles de monzonite de la Noye

Décaissant ~~au sud~~ Plateau au nord.

D'essarts et phénomènes du sud Coulees du sud

Disposition des matières volatiles - Flamme.

~~Bassin~~ ~~occidental de Bourbourg~~

Zon caténacique en Flaine

Bassin du Centre

Houille grise de Marcinelle

Houille grise d'Anderlues

au sud de Landies

Termination du bassin houiller vers Namur.

10^e cours.
4 février 1894

Bassin de Mons ou du Borinage

Division en deux coulées.

Coulée du nord différente d'aplatisseuse.

Coulée du sud. Croissance moins volontaire

Plaine ou houillière.

Portion de la Maye.

Aplatissement des veines du sud. - Plateaux.

Hypothèse sur les riches couches basses.

Travers et plis

Accident du Bouxte.

Terre cagivication. Limbeau disjoncté

Prolongement de l'accident du Bouxte sur le territoire français

Bassin du Centre Mariemont ~ houille de la grande

partie centrale de la Maye

Dessous de sud Anderlecht houille de la grande

Bassin de Charleroi accident de Fontaine l'Evêque

Relié au Bassin à l'E

Structure du Bassin à Namur houille maigre et pyritueuse.
coulées inf

Réunion de deux bandes calcaires à Andenne.

Bassin de Liège.

La structure

Division du bassin de Liège en deux parties basses

1. Bassin de Liège profond

2. Bassin de Herve

Prolongement de ce bassin en Allemagne

Bassin d'Eichwiler ou de l'Inde bassin régulier

Bassin de la Wurm. Serie de NW ^{sous S.} vers N. ^{sous N.} { structure et l'O.

Interruption par la grande plaine du Rhin

Bassin de la Ruhr. 160 couches avec 111 m. de charbon.

Bassin anglais

Bassin des Brabant prolongement du bassin français

Continuation du bassin à Denain

Bassin dans

Disposition des bassins anglais

Pays de Galles. - Chaine Pennine. - Bassin sous la chaîne Pennine

Bassin d'Yorkshire

Origine du terrain houiller

1^e hypothèse des forêt enfouis

2^e hypothèse des transports

Réservoir de mure du tort

Canaux

Arbres debout

Étude de M. Bertrand

Charbon de pollen

— d'algues

— de pollen

22^e cours

5 mai 1899

Diverses espèces de houille

Nature minéralogique des roches qui accompagnent la houille
Structure générale du bassin houiller franc belge

Bassin houiller franc belge franc au centre

4 divisions.

1^o Bassin de Valenciennes

2^o Bassin de Douai

3^o Bassin de Lens - Pas de Calais levant

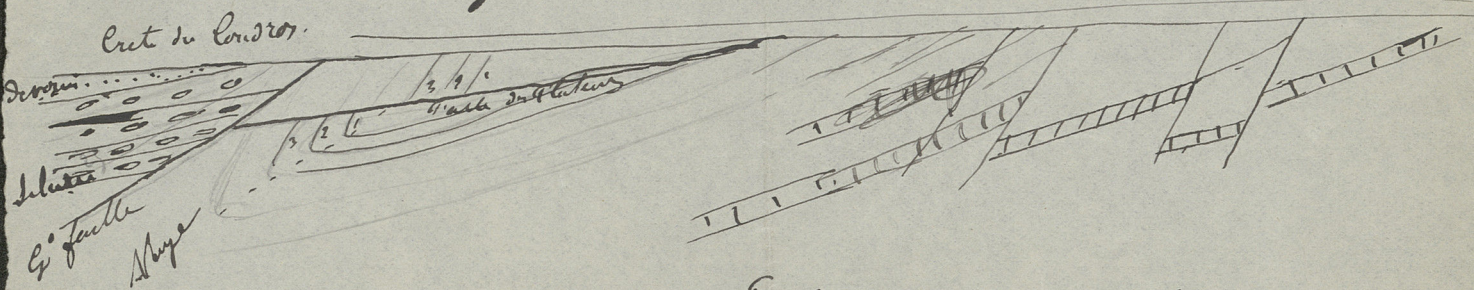
4^o Bassin de Pas de Calais couchant

1^o Bassin de Lens.

Coupe de Doury au Pas de Calais.

générale du bassin houiller.

Crois du Cendre.



Grande faille
Faille des plateaux
Noye.

Paquet
Basse de transport envers

2^o Bassin de Béthune-Marle. Au delà couchant du S. de Calais
limité d'avec le précédent par la Cucumerie de Béthune - à la faille transversale
de la Lartre. Houdain Beugny

Lambesc.

Crois du Cendre.

Coupe à Arques au Bois



abriu de Paquet - houiller de transport
abriu de Noye et de parties enversées

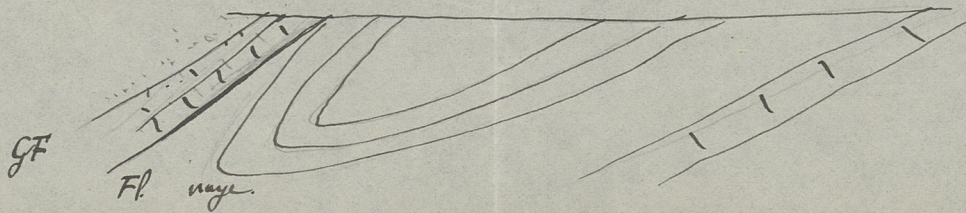
Grande faille et faille limitée.

Lambesc de pourrière

3^o Bassin de Douai et de l'Escautelle

Inversion de Douai et l'Escautelle

abriu de paquet de transport
caisse de la Noye
- du Lambesc de Louve
G²e faille et faille limitée.



Bassin de Valenciennes - 10 ans

Crête du Bassin



Absence de la nage

Eau de Etoupe remplace nage.

Paquet de transport = couches transverses